

京都大学工学部 正員 今本 博健
電力中央研究所 正員 白砂 孝夫

1. 固体粒子の乱れ速度

固体粒子の乱れ速度 U_p' が流体粒子速度 U' の時間的平均によって与えられるとき、Lagrange 相関数 $U_p(t_0) U_p(t_0 + \xi)$ はつぎのように表わされる¹⁾。(以下、添字 p で固体粒子に関する量を表す)

$$\begin{aligned} \overline{U_p(t_0) U_p(t_0 + \xi)} &= \left(\frac{1}{P} \int_{t_0 - \frac{P}{2}}^{t_0 + \frac{P}{2}} U'(t_i) dt_i \right) \left(\frac{1}{P} \int_{t_0 + \xi - \frac{P}{2}}^{t_0 + \xi + \frac{P}{2}} U'(t_i) dt_i \right) \\ &= \overline{\bar{U}^2} \left\{ \int_{-\xi - P}^{\xi} (-\eta - \xi + P) R(\eta) d\eta + \int_{\xi}^{\xi + P} (-\eta + \xi + P) R(\eta) d\eta \right\} \end{aligned} \quad (1)$$

ここに、P は粒子の大きさによって決まる平均化時間、 \bar{U}^2 および $R(\xi)$ は以下に計算される乱れの強さおよび Lagrange 相関係数である。

(1) 式を ξ について $0 \rightarrow \infty$ の範囲について積分すれば、

$$\int_0^\infty \overline{U_p(t_0) U_p(t_0 + \xi)} d\xi = \overline{\bar{U}^2} t_* \quad (2)$$

であるから、 $R_p(\xi)$ より計算される Lagrangian integral time scale t_{ip} は $R(\xi)$ より計算される t_* とつぎの関係にあることわかる。すなはち、(2)式の左辺は $\overline{\bar{U}^2} t_{ip}$ に等しいから、結局、次式を得る。

$$\overline{\bar{U}_p^2} t_{ip} = \overline{\bar{U}^2} t_* \quad (3)$$

(3)式を用いると、次式によつて定義される dispersion coefficient $k_p(t)$ は、 t が無限大に近づくと P に關係しないことわかる。

$$k_p(t) = \frac{1}{2} \frac{d \overline{\bar{U}^2} t}{dt} = \overline{\bar{U}_p^2} \int_0^t R_p(\xi) d\xi = \int_0^t \overline{U_p(t_0) U_p(t_0 + \xi)} d\xi \quad (4)$$

ここに、 $\overline{\bar{U}^2}(t)$ は経過時間 t における変位の分散である。

いま、流体粒子の Lagrange 相関係数を $R(\xi)$ とし、

$$R(\xi) = \exp\left(-\frac{\xi}{t_*}\right) \quad (5)$$

を用いると、 $R_p(\xi)$ としては近似的に、(3)式において t_{ip} を用いて、

$$R_p(\xi) = \exp\left(-\frac{\xi}{t_{ip}}\right) \quad (6)$$

と表わすことができる。

(6)式を用いて固体粒子の分散 $\overline{\bar{U}^2}(t)$ および dispersion coefficient $k_p(t)$ を求めると、

$$\overline{\bar{U}^2}(t) = 2 \overline{\bar{U}_p^2} \int_0^t \int_0^{t_1} R_p(\xi) d\xi dt_1 = 2 \overline{\bar{U}_p^2} \int_0^t (t - \xi) R_p(\xi) d\xi \quad (7)$$

$$= 2 \bar{U}_p t_{\text{exp}} \left(\frac{t}{t_{\text{exp}}} + \exp(-\frac{t}{t_*}) - 1 \right)$$

$$K_p(t) = \bar{U}_p^2 t_{\text{exp}} \left(1 - \exp(-\frac{t}{t_{\text{exp}}}) \right) \quad (8)$$

以上の結果を用いて拡散過程に及ぼす粒径の効果を示したのが figs 1~4 である。fig. 1 は(1)式において、 $\zeta = 0$ とき、 $R(\zeta)$ として(5)式を用いた場合の \bar{U}_p^2 / \bar{U}^2 と P/t_* の関係を表したものである。また、(3)式によると、 \bar{U}_p^2 / \bar{U}^2 より t_{exp}/t_* を計算すれば、その結果も fig. 1 に示している。fig. 1 によると $\zeta = 0$ とみなされる範囲の P/t_* における \bar{U}_p^2 / \bar{U}^2 および t_{exp}/t_* の値を(1), (8), (7)式に用いて、 $U_p(t_0) U_p(t_0+t)$, $K_p(t)$, $S_p^2(t)$ への ρ の効果を示したもののが fig. 2, 3, 4 である。

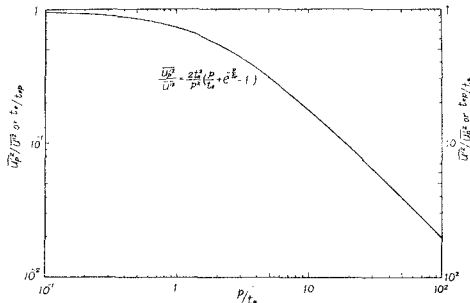


fig. 1.

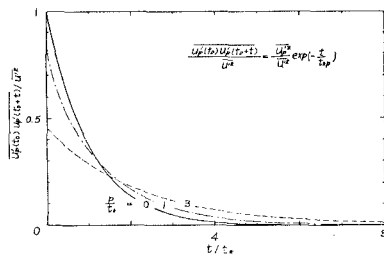


fig. 2.

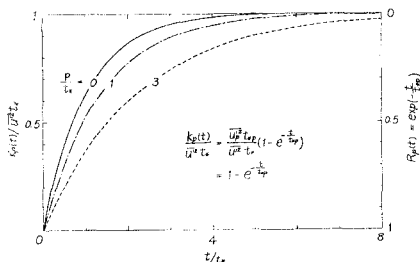


fig. 3.

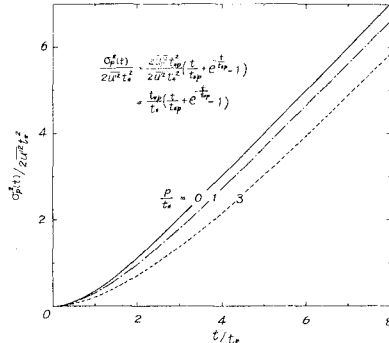


fig. 4.

2. 固体粒子拡散実験

室内実験における実験装置については、既報のものと同様であるので省略する。本研究においては固体粒子の乱流拡散特性をより明確に把握すため、室内実験に加えて、京都市東山疏水四の尾瀬水門における現場観測を行なったが、現場の水理条件はfig. 5. に示される通りである。實験粒子としては、ベニヤ板(厚さ5mm)製の、直徑は100cmおよび1cmの円板粒子を用いた。流下時間ヒヒもなる粒度変位の分散は、5, 10, 20, 40および80mの距離を流下するに要する時間の分散より計算した。

fig. 5. は、現場観測結果を示したものであるが、測定結果より、 $\overline{U_p^2}$ および t_{dp} を求めるとき、 $d=1\text{cm}$ では、 $d=100\text{cm}$ に対しては、 $\overline{U_p^2} = 59 \text{ cm}^2/\text{sec}^2$, $t_{dp} = 22(\text{sec})$, $d=1\text{cm}$ に対しては、 $\overline{U_p^2} = 87 \text{ cm}^2/\text{sec}^2$, $t_{dp} = 15(\text{sec})$ となる。

一方、室内実験における $S_p(t)$ の観測結果をfig. 6. およびfig. 7. に示す。fig. 6. は $Q=15.9 \text{ l/sec}$ の場合、また、fig. 7. は $Q=8.07 \text{ l/sec}$ の場合を示したものであるが、両者の場合とも、粒度の増大とともに $S_p(t)$ が減少するという傾向は明らかに成立せず、1.に述べた理論的考察を説明できない。

一方、 U_p^2 を用いて Lagrange 相関係数を計算した結果をfig. 8. に示したが、この図に見られるように、fig. 6. およびfig. 8. と同様に、粒度増大にともなう一定の傾向を読み取ることはできないが、本実験の場合の乱流場に何らかの周期的変動が含まれていることを示している。

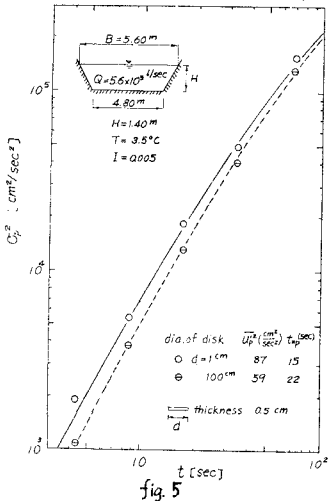


fig. 5

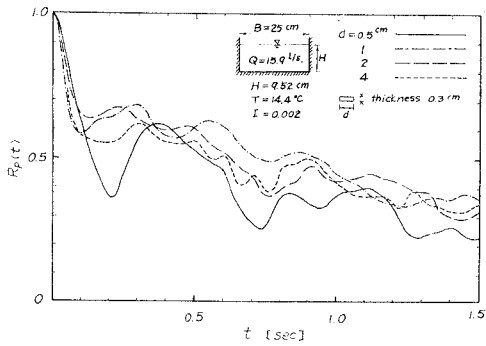


fig. 8

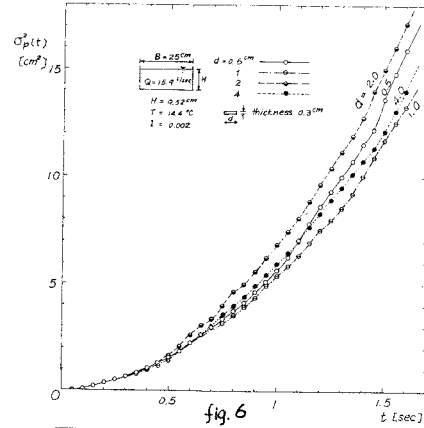


fig. 6

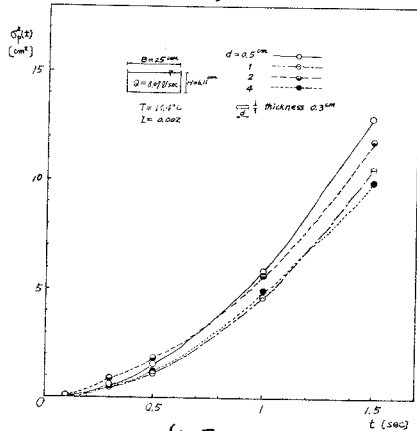


fig. 7

以上により明らかなように、本実験のうち、とくに管内実験においては、乱流拡散現象における粒径の効果を明確に把握することができなかつたが、本研究の結果をまとめると、つきの通りである。

1) 等方性一様乱流場における固体粒子の拡散過程は、粒子の大きさが大きくなるとしたがい、固体粒子の乱れ強さ U_{sp} が減少するといふに、Lagrangian integral time scale t_{sp} が増大するため、粒径によって異なる特性を示すが、Lagrange相關関数、分散係数、分散における粒径の効果を示すと、fig. 2, 3, 4 のようになる。

2) 流体粒子速度より求められ 3 Lagrangian integral time scale を t_{sp} とすると、固体粒子拡散における粒径の効果は P_{sp} によって説明され、 $P_{\text{sp}} < 10^1$ より小さいとき、粒径の効果はほとんじて無視できるほど小さい。ここに、 P は、固体粒子速度と流体粒子速度とを結びつけ平均化時間である。

3) われわれが計算とする実際の開水路流れにおいては、等方性乱流場の条件が完全に満足されることはきわめて少なく、とくに、本実験に見られるように、ある規則的な変動を含む乱流場においては、固体粒子拡散における粒径の効果を評価することはきわめて困難であつて、さらに詳細な検討を要すると思えられ、今後の課題としていたい。

最後に、本研究の遂行にさいして、いろいろと有意義な指導をして下さった岩佐教授に謝意を表す。

参考文献

- 1) 岩佐・今本・井上・白砂；開水路流れの自由表面上における固体粒子の拡散特性について，第11回水理講演会講演集，土木学会水理委員会，昭和42年
- 2) 岩佐義朗，今本博健；開水路せん断乱流場における拡散現象について，第10回水理講演会講演集，土木学会水理委員会，昭和41年。